

中国化学会 1963 年年会

論文摘要集

(内部資料・注意保存)

1963 年 7 月

青 岛

中国化学会 1963 年年会

論文摘要集

目 录

一、分析化学.....	(1)
无机化学分析.....	(1)
仪器分析.....	(12)
有机分析.....	(27)
二、无机化学.....	(34)
稀有元素化学.....	(34)
絡合物化学.....	(40)
无机体系.....	(51)
无机合成，同位素化学.....	(58)
三、物理化学.....	(62)
胶体及表面化学.....	(62)
动力学.....	(68)
溶液理論和电化学.....	(82)
物质結構.....	(89)
四、有机化学.....	(97)
理論有机化学.....	(97)
脂肪族及芳香族化合物.....	(107)
杂环化合物.....	(118)
元素有机化合物.....	(133)

00255

一、分析化学

无机化学分析

1. 磷基水楊酸与稀土元素的絡合及其在分析鑪和 鑑上的应用（摘要）

苏 鏘 呂玉华

(中国科学院应用化学研究所)

(1) 用 pH 值法和电导法研究了 $\text{YCl}_3\text{-H}_3\text{SSA}\text{-H}_2\text{O}$ 和 $\text{YCl}_3\text{-Na}_2\text{HSSA}\text{-H}_2\text{O}$ 两体系，确定了有組成为 1:1 的 YSSA 和 1:2 的 $[\text{Y}(\text{SSA})_2]^{3-}$ 絡合物存在。当 $\frac{\text{H}_3\text{SSA}}{\text{YCl}_3}$ 或 $\frac{\text{Na}_2\text{HSSA}}{\text{YCl}_3} = 1:1$ 时，并可能有碱式絡合物生成。

(2) 用 pH 值法测定了 20°C, $\mu=0.18$ 时 La、Pr、Nd、Gd、Y、Dy、Yb 等 7 个元素的 1:1 和 1:2 絡合物 RSSA 和 $[\text{R}(\text{SSA})_2]^{3-}$ 的稳定常数。稳定常数——原子序图属第三种类型的轉折变化，釔的位置是 Gd-Y-Dy，在重鑪系元素部分。

(3) 测定了在不同 $\text{NH}_4\text{OH}\text{:RCl}_3$ (克分子比) 和 pH 值下 La、Pr、Sm、Gd、Dy、Er、Yb、Y 等 8 个元素的磷基水楊酸絡合物在 Zerolit-225 阳离子交换树脂上的吸附量。吸附量——原子序图属第四种类型的轉折变化，鑪呈現明显的特性，它的吸附量最大。釔的位置同样是 Gd-Y-Dy，在重鑪系元素部分。

(4) 用磷基水楊酸作淋洗液的离子交換法研究了磷基水楊酸浓度、pH 值、流速、不同鑪含量和鈮的存在等因素对定量分离和测定鑪的影响，提出了一个較快的、不需特殊貴重仪器设备的定量测定常量鑪的方法。

(5) 研究了在磷基水楊酸介质中用鈉汞齐还原法自釔族稀土中定量分离和测定鑑的条件，提出了一个較快的、不需特殊貴重仪器设备的定量测定釔族稀土中常量鑑的方法。

2. 用氯氧化銨-氯化銨分离錫与鋅

錫石中鋅的測定

錢翠麟

(地質部地質科學研究院)

本文討論从大量錫中分离鋅的方法。确定了分离条件，并提出直接用极譜測定錫石中鋅的方法。

当大量錫存在时，由于氢氧化錫有严重吸附鋅的現象，不能用銨盐-氨水底液极譜法測定鋅。作者采用氢氧化銨-氯化銨“干法沉淀”，使鋅与錫分离。然后仍用极譜測定鋅。但錫鋅分离不能直接应用“干法沉淀”，而必須有一第三元素存在。

本法与萃取法作了比較，从实际应用情况来看，方法是成功的。但在过程上較萃取法簡便得多。文中列举了必要的实验数据。

本文对“干法沉淀”，作了理論性的探討，对第三元素在“干法沉淀”中的作用，作了推論。

3. 高鈦矿石中微量鎳的測定

郭志冲 孙維云

(冶金部北京地質研究所)

本文重点試驗了高鈦与低鎳的分离，証明用紙上沉淀色层和四氯化碳浮选莫林鎳等方法能使微量鎳与高量鈦获得較为滿意的分离，分离所得之鎳，制备成 0.2 N 硫酸溶液用二甲酚橙比色法測定之。

浮选法分离鎳和其他元素：

在 2NHCl , H_2SO_4 , HClO_4 介质中鎳与莫林生成黄色絡合物，該絡合物在非极性的有机溶剂中溶解很小，莫林鎳如用四氯化碳抽取后被浮选于有机相中，过滤后可将莫林鎳的不溶物及有机相收集于漏斗中，在此条件下鈦、铌亦能生成莫林絡合物且为四氯化碳所浮选，但浮选莫林鎳时加入适量过氧化氢，则由于鈦、铌过氧化物的形成阻止了鈦、铌莫林絡合物的生成获得与微量鎳的分离，其他一些与莫林生成絡合物的元素如 Sn , Al , Sb 等，由于矿样采取碱熔，可得預先分离。

沉淀色层法：

在微酸性条件下，如用苯芴酮把鎳、鈦等从色层紙上沉淀下来，风干后，若将 H_2O_2 滴在紙上，则很顯明地看到苯芴酮鈦的沉淀非但溶解于过氧化氢形成过鈦酸而且随着过氧化氢在紙上的扩散而展开，苯芴酮鎳由于不溶于过氧化氢，停滞于原点，利用此性质可将鎳矿物制备成小体积的 $\text{HCl}-\text{H}_2\text{O}_2$ 溶液，吸取一定量試液量于一张 12 开 S.S.2040B 色层紙上，半干后用 1 % 苯芴酮乙醇溶液将鎳、鈦沉淀在紙上以 H_2O_2 (1:1)用下降法把鈦从紙上淋洗下来与鎳分离，分离所得之紙上苯芴酮鎳，用硝酸镁潤湿，在鉛坩中灼烧成鎳酸镁，最后将鎳酸镁制备成 0.2 N H_2SO_4 溶液，以二甲酚橙比色法測定鎳。

上述方法可适用于含 TiO_2 20% 矿石中微量鎳(0.1—0.00x%)的測定。

4. 用高鉀化合物濃集痕量釔的研究

严仁蔭 朱貴云

(北京大学化学系)

用共沉淀法浓集痕量釔的方法比較少^[1,2]，一般选择性不高。考慮到高鉀离子的半径与釔的离子半径接近，許多高鉀化合物与釔化合物的性质相似，利用高鉀化合物浓集痕量釔應該有較好的效果，而高鉀化合物还原到三价以后，对釔的比色測定干扰較小，因此我們对这一分离方法进行了一些研究。

我們研究了痕量釔随碘酸高鉀共沉淀的条件。自0.5—1.0N硝酸溶液中（总体积約15毫升）由3毫克鉀与2毫升饱和碘酸鉀溶液所生成的碘酸高鉀，可使10—50微克釔定量共沉淀。沉淀溶解并用抗坏血酸将高鉀还原后，可用偶氮砷Ⅰ法^[3]比色測定釔。50毫克鈣、镁或（及）鋁均不沉淀。鐵、鈾（Ⅵ）能产生沉淀，但加热时可以溶解。趁热离心分离沉淀，可使釔与40毫克Fe³⁺及UO₂²⁺分离。硫酸根不超过100毫克不影响沉淀、含量高时，对釔的析出略有影响。增加碘酸鉀的用量到5毫升，250毫克硫酸根也无影响。少量钛（1.23毫克）无明显影响。钛較多时也随碘酸高鉀沉淀，干扰釔的比色測定。将沉淀溶解，再用草酸沉淀，钛量达50毫克也无干扰。鋯形成难溶碘酸盐沉淀，也可經草酸盐沉淀消除干扰。三价稀土元素不干扰，曾用此法分离、测定稀土化合物中的痕量釔，結果良好。

也曾用氢氧化高鉀浓集釔。在pH<5时，10—50微克釔可随5毫克高鉀所产生的氢氧化物定量共沉淀。此法的选择性不高，故未做深入的研究。

参考文献

- [1] T. S. 魏斯特，化学通报，1962，173。
- [2] E. B. Sandell, "Colorimetric Determination of Traces of Metals", 3rd ed., p. 827, Interscience, New York, 1959.
- [3] Ф. В. Зайковский и Л. И. Герхардт, Журн. анал. хим., 13, 274 (1958).

5. 銑的紙色层分离及測定

龐叔蔭 雷劍泉* 梁樹权

(中国科学院化学研究所)

釔，釔，鑑系的紙色层分离，前人报导很多^[1-6]，我們在以往工作基础上重复了文献[6]的工作并补充了釔的数据。本工作主要报导用乙醚，丙酮和硫氰酸銨的混合溶液作展开剂时，釔，釔，鈾，鑑等共存时的比移值，以及用上升法展开，以茜素检出时，釔与鑑（鈾）之极限比为1:1×10⁴，即从一份鑑（鈾）中能检出1×10⁻⁴份釔。此外还試驗了用各种叔胺处理滤纸的反相分配层析法分离釔和其他有关元素，并試驗了二甲酚橙，骨螺紫，1(α-吡啶基偶氮)-2-萘酚，鈾試剂Ⅰ，鈾試剂Ⅱ，鈾試剂Ⅲ，釔試剂，胭脂紅，8-羥基喹啉，偶氮纈，柔色素，茜素，醌茜素，槲皮素等十四种比色試剂^[7]作为釔的显色剂时在纸上显色的灵敏度，結果說明以茜素，醌茜素和二甲酚橙最为灵敏，检出限度达0.001微克。最后提出用高氯酸，

* 該同学毕业論文之一部分。

盐酸，硝酸(1:1:1)的混合酸湿法氧化滤纸，用0.0001M EDTA二钠盐微量滴定，以二甲酚橙作指示剂，滴定时酸度控制在pH 2.4—2.9左右，加抗坏血酸以消除少量铁的干扰，能定量检出纸上1微克钪，方法误差为±3%。

参 考 文 献

- [1] F. H. Pollard, J. F. W. McOmie and H. M. Stevens, J. Chem. Soc., (a) 4730 (1952); (b) 3435 (1954).
- [2] M. Lederer, Compt. Rend., 236, 1557 (1953).
- [3] Hideo Nagai, Bull. Chem. Soc. Japan, 33, 715 (1960).
- [4] 麦叔微，梁树权，化学学报，28，148(1962).
- [5] П. С. Полуэктов, Р. С. Лаур, Г. Ягняческая, "Сборник редкоземельные элементы", Изд. АН СССР. Москва, 1959 стр. 199.
- [6] Р. С. Лаур, Н. С. Полуэктов, Зав. Лаб., 25, 391 (1959).
- [7] В. Г. Брудзь, В. И. Титов, Е. П. Осинко, Д. А. Драпкина и К. А. Смирнова, Ж.А.Х., 11, 568 (1962).

6. 纸上沉淀带截留法分离铀与铀-X₁,

铈-144 及铯-137*

楊裕生 邱光葵

(中国科学院化学研究所)

我們嘗試將共沉淀現象與紙上色層操作相結合，利用某些選擇性高的共沉淀現象和色層過程中的不斷洗滌過程分離鈾與其無載體裂變產物，本文報導鈾與铯-137，铈-144及UX₁分離的試驗結果。

方法的簡要內容如下：在色層紙條(1.5×24 cm)的中部做一沉淀帶（如LaF₃），已知此一沉淀能與所欲分離的某裂變產物（如铈-144）形成共沉淀。樣品溶液點在紙條下端與沉淀帶之間，然後用上升法展開。展開劑溶液中含有能與鈾及其他裂片絡合的離子，以減少它們在沉淀帶上的吸附，而極微量的個別裂變產物（如铈-144）在通過沉淀帶時則被阻留，從而達到分離的目的。

铈-144 及 UX₁ 的截留以氟化镧為沉淀帶，以氢氟酸為展開劑。鈾在展開後移至前沿。

在鈾與铯-137的分離中以四苯硼酸銨或四苯硼酸铯為沉淀帶，以氢氟酸為展開劑。試驗了鈾濃度，展開劑成份等影響。

放射性的檢查用G-M計數管測量和放射照相法，鈾用亞鐵氰酸鉀顯色。

7. 钽鉿分离——紙上层析法

丁茂材 徐仁靜 郑倩媛

(南京大学化学系)

I、用钽鉿的硝酸鹽作為試液滴在用10% NaNO₃處理過的Whatman 1號濾紙條上，以有機試劑加硝酸作為展開劑，用上升法在色層玻筒中展開，等前線到約30厘米處取出掠干

* 本工作得到梁树权教授的热心指导，謹此致谢。

用茜素—S 的水溶液显色，锆和铪呈现紅斑点，求 R_F 值。先做純锆試液或純铪試液的 R_F 值，如二值相差較大有将二物质分开之可能再做混合物的分离。經研究后找出以下十种展开剂均可将锆铪分开。

- | | |
|--------------------|---------------------|
| 1. 丁酮 + 硝酸 | 2. 丁酮 + 正丙醇 + 硝酸 |
| 3. 丁酮 + 异丙醇 + 硝酸 | 4. 丁酮 + 正丁醇 + 硝酸 |
| 5. 丁酮 + 异丁醇 + 硝酸 | 6. 丁酮 + 正戊醇 + 硝酸 |
| 7. 丁酮 + 乙酸乙酯 + 硝酸 | 8. 丁酮 + 乙酸异丙酯 + 硝酸 |
| 9. 正丙醇 + 乙酸乙酯 + 硝酸 | 10. 正丁醇 + 乙酸乙酯 + 硝酸 |

II、在所用有机展开剂相同时 Zr 和 Hf 的 R_F 值随硝酸的浓度增加而增大。

在所用有机展开剂相同，硝酸的浓度相同， Zr 和 Hf 的 R_F 值随硝酸所占的体积比增加而增大。

III、以丁酮 + 硝酸为展开剂将 Zr , Hf 分离后进一步又作了定量的测定。

参考文献

- [1] N. F. Kember, and R. A. Wells, Chem. and Ind., 1129 (1952).
- [2] N. S. Polvectov, Proceedings of the International Conference on the Peaceful Uses of Atomic Energy Vol. 8, pp. 572—579 (1955).
- [3] C. Testa, J. Chromatog, 5, 236 (1961).
- [4] 邹时复, 陶珮利, 化学学报, 28, 344 (1962).

8. 用磺基水楊酸为絡合剂的离子交換法分离

鈷中微量的鐵和鋁

蔡淑蓮 周執明

(復旦大學化學系)

沃力佛爾(Oliver)等^[1]曾經用磺基水楊酸为鐵、鉻、鋁、釔等的絡合剂，用乙二胺为銅、鋅、鎳和錳的絡合剂，进行两組中任何离子对的分离。作者未报导鈷的分离。我們利用乙二胺和鈷(III)形成极稳定的絡合阳离子的特性($pK_{不離}=48.69^{[2]}$)，于强鹼性阴离子交換树脂上，分离鈷中微量的鐵和鋁。这种方法的优点是：(1)大量的鈷—乙二胺絡离子在阴离子交換树脂上不被吸附，所以通过树脂而进入流出液中，微量的鐵、鋁—磺基水楊酸絡合物則被树脂所交換。用8厘米长的交換柱、可以分离20毫克鈷中微克量的鐵和鋁。(2)在分离过程中微量的Fe(III)和Al(III)得到浓集。

本工作分为下列三部分，

甲、分离条件的探討：

1. 测定 Fe(III)、Al(III)—磺基水楊酸絡合物在树脂和溶液間的分配系数 K_d 对溶液 pH 值的依賴关系。

$$K_d = \frac{\text{离子在树脂相量 / 干树脂克数}}{\text{离子在溶液相量 / 溶液毫升数}}$$

实验結果指出溶液的 pH 值在 8—9 之間、 $K_{d(Fe\text{ III})}$ 和 $K_{d(Al\text{ III})}$ 值最大，分別为 $10^{5.4}$ 和 $10^{3.2}$ 。

2. 磷基水杨酸浓度的选择：测定不同浓度的磷基水杨酸存在下， Fe(III) 和 Al(III) 在树脂上的吸附量。实验数据指出磷基水杨酸的浓度为 $2.3 \times 10^{-2} M$ 时， Fe(III) 吸附达最大值；而浓度在 1.6×10^{-3} — $3.0 \times 10^{-2} M$ 范围， Al(III) 吸附达最大值。交换时磷基水杨酸的浓度控制在 0.01 — $0.03 M$ 。

3. 淋出 Al(III) 和 Fe(III) 时盐酸浓度的选择，试验了 $K_d(\text{Fe(III)})$ 和 $K_d(\text{Al(III)})$ 与盐酸浓度的关系。结果证实克劳斯 (Kraus) 等^[3]的工作完全符合。因而选择 8 N 盐酸淋洗 Al(III) ，然后以 0.5 或 1 M 盐酸溶液淋洗 Fe(III) 。

乙、钴与铁和铝的分离：

于 $8 \text{ cm} \times 0.28 \text{ cm}^2$ 柱上以 0.15—0.21 cm/分的流速，进行 Fe(III) 和 Al(III) 混合物 (100 r:100 r) 以及 Co(III) 和 Fe(III) 、 Al(III) 混合物 (10 mg:100 r:100 r) 的分离并绘制淋洗曲线。淋洗曲线基本上是对称的，但略有拖尾。我们发现各淋洗曲线峰的位置 (U^*)，不随样品组份的改变而移动 (U_{Al}^* 为 1.4 毫升， U_{Fe}^* 为 7.2 毫升)。因而确定在回收时 Al(III) 和 Fe(III) 各收集 5 毫升。用本方法可分离 10—20 毫克钴中 10 微克的铁和 10 微克的铝。相对误差小于 8.5%。

丙、铁和铝的交换机构：

耐尔桑 (Nelson) 等^[4]首先建议用离子交换法研究水溶液中络合物的主要形式，提出 $\frac{\log D}{\log(A^{-\alpha})} = -\frac{x}{\alpha}$ 。我们测定 Fe(III) 和 Al(III) 的 K_d 与磷基水杨酸浓度的关系，并用 $\log K_d$ 对 $\log(\text{SSal}^{-\alpha})$ 作图，于 0.01—0.2 M 浓度范围得直线关系。其斜率分别为 -3.0 与 -2.9。证明在实验条件下溶液中络合物的主要形式为 Me(SSal)_3^{-6} 。(当磷基水杨酸与金属离子络合时，其羟基中的氢也被代替，因此络合状态的 (SSal) 为负三价)^[5]。结果与埃格伦 (Agren)^[6]用分光光度法测定 Fe(III) -磷基水杨酸络合物的报导是一致的。因此认为在交换过程中 Fe(III) 和 Al(III) 均以 Me(SSal)_3^{-6} 的形式与树脂进行交换。

参 考 文 献

- [1] R. T. Oliver, T. S. Fritz, U.S. Atomic Energy Com. m. Rep. ISC 1056 (A. A. 84, 3385 (1959)).
- [2] J. Bjerrum, Stability. Constants of Metal-ion Complexes Part I: Organic Ligands, p. 5 (1957).
- [3] K. A. Kraus, F. Nelson, Proceedings of the International Conference on Peaceful Uses of Atomic Energy 7, 113 (1956).
- [4] F. Nelson, K. A. Kraus, J. Am. Chem. Soc. 77, 801 (1955).
- [5] C. U. Banks, R. S. Singh, J. Inorg. Nucl. Chem. 15, 125 (1960).
- [6] A. Agren, Acta Chem. Scand. 8, 266 (1954).

9. 自鈾(VI)、釔、鑪、釔及鈽溶液中用五棓子酸 分別定量分离沉淀釔和鈾

戈福祥 童 珏* 王应璋* 魏治民

(甘肃省农业大学化学教研组*)

(兰州大学化学系)

用五棓子酸自含有鈾、釔、及稀土元素的硝酸盐溶液中分别定量分离沉淀釔和鈾的研究工

作，迄今尚未有人报导过。作者在用五棓子酸分离釔与鑑、鈮、釔的基础上^[1]进一步自含有鉻(IV)的鉻、鉻、鑑、鈮及釔的硝酸盐溶液中，利用溫度、五棓子酸浓度及 pH 值的不同，先后分別定量沉淀鉻和鉻。沉淀鉻的条件为：在含鉻約 0.1—0.2 克的样品中加入鉻(IV)，鉻(III)、鑑及釔的硝酸盐，其总量約為鉻的三倍到九倍。用 1% 五棓子酸溶液約 10—15 ml，溶液总体积約 100 ml，用甲酸-甲酸铵溶液調節 pH=3—3.5，在約 10% (W/V) NH₄Cl 盐析的作用及保持温热的情况下，鉻即定量沉淀。經洗滌灼烧后，所得氧化鉻沉淀。經光譜及化学方法检查均未检出鉻、鑑、鈮及釔。鉻在此情况下不沉淀，因由条件試驗发现在热溶液中（約 70—80°）鉻与五棓子酸虽也能形成絡合物但并不沉淀。加入过量五棓子酸并将溶液冷至室溫后，鉻(IV)即定量沉淀与鑑、鈮及釔分离。

参考文献

- [1] 戈福祥 陈佩芳 童 珉 王应璋用五棓子酸盐析法自鉻、鑑、鈮及釔溶液中定量的分离鉻。1963年兰大学报第一期（在印刷中）。

10. 鉻(IV)的新的催化反应

鉻(IV)-邻苯三酚-过氧化氢-酒石酸催化体系

慈 云 祥

(北京大学)

在鉻(IV)催化过氧化氢氧化邻苯三酚（邻苯三酚的氧化产物呈紅色）的报道^{*}中，我們曾指出鉻(IV)在弱酸性溶液中也有类似反应。因此，我們利用光电比色法研究了鉻(IV)催化过氧化氢氧化邻苯三酚的条件及其在分析化学中应用的可能性。

对于鉻(IV)-邻苯三酚-过氧化氢-酒石酸体系研究的結果表明，在 pH=3—3.7, [H₂O₂]=8×10⁻³—2×10⁻² M 时反应速度为最大；当邻苯三酚浓度高于 2×10⁻² M 时，反应速度保持一定值；酒石酸浓度高于 0.12 M 时，反应速度也近于不变。

对于鉻(IV)-邻苯三酚-过氧化氢-檸檬酸体系，在 pH=3.1—3.6, [H₂O₂]=6×10⁻³—2×10⁻² M, [檸檬酸]=1×10⁻²—3×10⁻² M 时催化反应速度为最大。

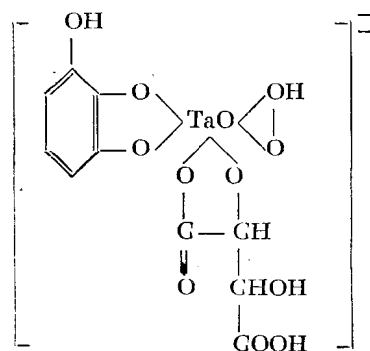
催化反应速度与鉻(IV)的浓度成正比。对于鉻(IV)-邻苯三酚-过氧化氢-酒石酸体系（图 1），在 15° 时，0.5 微克/25 毫升 Ta₂O₅，反应速度仍可測量。若提高溫度則更低浓度的鉻(IV)仍能給出可測的反应速度。

因此，我們拟訂了測定微量鉻(IV)的催化比色方法。利用鉻(IV)-邻苯三酚-过氧化氢-酒石酸体系，在 15° 时可以測定浓度为 0.5—10 微克/25 毫升的 Ta₂O₅。如有 Fe^{III}(50 微克)、V^V(50 微克)、U^{VI}(50 微克)、Ti^{IV}(100 微克)、Mn^{II}(500 微克)、Bi^{III}(3 毫克)、Co^{II}(5 毫克)、Zn^{II}(5 毫克)、(Zr^{IV}(1 毫克)、Th^{IV}(1 毫克)、Ni^{II}(1.5 毫克)、Ga^{II}(10 毫克)、Mg(10 毫克)、Na₂SO₄(10 毫克)存在，不影响鉻(IV)的測定（誤差在±5% 以内）。利用鉻(IV)-邻苯三酚-过氧化氢-檸檬酸体系，在 15° 时可以測定浓度为 3—25 微克/25 毫升的 Ta₂O₅，此时 Nb^V

* 北京大学学报 1963 (未出版)

(10 微克)、 Fe^{III} (100 微克)、 Ti^{IV} (100 微克)、 W^{VI} (20 微克)不影响鉬的測定。

基于已有的實驗結果，我們推測，不同体系的催化作用可能由于混合配位体絡合物的形成，继而产生分子內的氧化还原反应所引起，例如鉬(V)-邻苯三酚-过氧化氢-酒石酸体系，混合配位体絡合物有可能用下式表示：



11. 錫中微量銅的分离与催化測定

裘家奎 張樹成 楊念榮

(南京大学化学系)

本文提出用二苯硫腙在氟化物存在下从錫中萃取分离微量銅，并用催化法測定的方法。用二苯硫腙萃取分离微量銅，前人已做了不少工作^[1,2]，如 E. A. Brown^[1]用它分离并用萃取液直接比色測定鎳槽中微量的銅，其范围为 2—8 $\mu\text{g Cu}/78 \text{ mg Ni}$ ，我們采用在氟化物存在下用二苯硫腙在酸性溶液中从錫中萃取分离微量銅，可从 0.5 克錫中萃取分离 1—10 $\mu\text{g Cu}$ 。直接用萃取液比色測定銅的方法不十分好，如用单色法，准确度較差，用混合色法，则手續較麻煩；灵敏度也不够高，特別是当萃取金属中微量銅时，有好几种金属杂质有干扰。K. B. Яцимирский^[3]曾在純溶液中利用銅对 Fe^{3+} 与 $\text{S}_2\text{O}_3^{2-}$ 之間反应的催化作用来測定硫代硫酸盐和銅的浓度，測定銅量的范围为：0.25—1.5 $\mu\text{g Cu}/\text{ml}$ 。我們参考此法，把从錫中萃取分离出来的溶于四氯化碳的紫紅色內絡合物，用稀盐酸分解，使銅再反萃取到水相来測定銅。因为此反应只被銅催化，故即使有某种金属杂质被同时萃取到萃取液中，对測定也无影响。在錫量不大于 10 $\text{mg}/25\text{ml}$ 时，不經萃取分离即可直接用催化法測定，由于改变了實驗条件因而提高了灵敏度，最低浓度可測 0.04 $\mu\text{g Cu}/\text{ml}$ 。

在研究銅对 Fe^{3+} 与 $\text{S}_2\text{O}_3^{2-}$ 之間反应的催化作用时，我們研究了 10—30°C 溫度、銅量与反应速度的关系，从實驗得到的数据看出：在低溫度，例如 10—20°C，主要影响是銅的催化，在高溫度，例如 25—30°C，銅的催化作用已不显著，此时溫度是影响反应速度的主要因素。由于在低溫度与在高溫度的不同，測定銅量的范围也不同，在低溫度測定范围較寬，而在高溫度則較窄。根据这一實驗結果，找出了測定时的合适溫度范围。

参 考 文 献

[1] E. B. Sandell, Colorimetric Determination of Traces of Metals, 1959, pp. 438—42.

- [2] G. H. Morrison and H. Frieser, Solvent Extraction in Analytical Chemistry, 1957, p. 205.
[3] K. B. Яцмирский, Ж.А.Х., 10 (1955) 344.

12. 鋨-1-(2-吡啶偶氮)-2-萘酚的分光光度法測定

常业蹄 袁秀順*

(中国科学院应用化学研究所)

1-(2-吡啶偶氮)-2-萘酚(简称PAN)首先为Cheng^[1]提出作为絡合滴定鋨的指示剂, 得到很好的結果, 这就为应用該試剂作为鋨的比色試剂提供了綫索。其后 Shibata^[2]用該試剂作为鋨鐵同时测定的比色試剂, 但該法在应用上有一定的局限性, 仅在試样中鐵鋨含量相近时, 方能适用, 而在实际情况下, 此类試样較为罕見, 显然欲使1-(2-吡啶偶氮)-2-萘酚能用来单独測定鋨, 則需解决鐵的干扰問題。由于 $\text{Fe}^{+++}\text{Fe}^{++}$ 与試剂生成之絡合物顏色强度比試剂与鋨生成之絡合物顏色强度約大一倍, 故利用一般加入隱蔽剂的方法, 不能得到很好的效果。本文提出了在含甲醇的水溶液中以1-(2-吡啶偶氮)-2-萘酚比色測定鋨的方法, 在pH 5.3—6.7之間, 用乙醚萃取过剩試剂以及試剂与 $\text{Fe}^{+++}\text{Fe}^{++}\text{Ni}^{++}\text{Mn}^{++}\text{Cd}^{++}$ 等干扰离子形成的絡合物后, 則留在水溶液中的鋨的絡合物, 具有极好的稳定性, 可以直接进行比色測定, 而不受上述离子的干扰, 在此条件下 $\text{Mg}^{++}\text{Ca}^{++}\text{Pb}^{++}\text{Hg}^{++}\text{Al}^{+++}\text{Sb}^{+++}\text{La}^{+++}\text{Zr}^{\text{IV}}\text{Cr}^{\text{VI}}\text{Mo}^{\text{VI}}$ $\text{Cl}^{-}\text{SO}_4^{-}$ 等离子不干扰显色。

1-(2-吡啶偶氮)-2-萘酚溶于甲醇中, 在25毫升体积中对50微克鋨加入0.2%試剂溶液1毫升已足够, 甲醇含量以4毫升为适宜。萃取时乙醚体积为15毫升。

在水溶液中鋨的絡合物最大吸收波峰在546 m μ 处, 鋨的浓度在0.4—2微克/毫升时, 服从比尔定律, 克分子消光系数为19,000。

實驗証明: 在經乙醚萃取后之水溶液中測定鋨的方法較常用的8-羥基喹啉法、茜素紅-S法具有良好的选择性, 可适用于一般試料中微量鋨的測定, 本文曾用此法于鋁合金中鋨的測定, 获得了滿意的結果。

参考文献

- [1] K. L. Cheng, Anal. Chem. 27, 1582 (1955).
[2] Shozo Shibata, Anal. Chim. Acta 23, 434 (1960).

13. 銩-苯芴酮的分光光度法測定

常业蹄 袁秀順

(中国科学院应用化学研究所)

2,3,7-三羥基-9-苯基-6-芴酮(简称苯芴酮)在1951年为Gluley^[1]首先用于分光光度法測定鍶, 后又为其他許多作者用于分光光度法測定鍶^[2]鍶^[3]等元素, 均获得灵敏的測定方法。但用于鈸的分光光度測定, 文獻尚未見有記載。本文在乙醇:水为2:3的介质中, 在不同pH值下研究了苯芴酮試剂及苯芴酮-鈸絡合物的光吸收, 以及苯芴酮与鈸的显色条件后指

* 姚兵貴 袁文弟参加了部分实验工作。

出：該試劑是分光光度測定鎵的灵敏試劑。

苯芴酮試劑溶于96%（每100毫升乙醇中0.03克試劑加鹽酸0.2毫升）乙醇中，在乙醇-水介质中，在適宜的pH值下，迅速地與鎵形成紅色絡合物，此絡合物在介质中呈膠体粒子，鎵的浓度大时，絡合物沉降为沉淀，鎵的浓度小时，可以为胶所分散，而获得稳定的溶液。胶的浓度在25毫升体积中0.5% 动物胶溶液1毫升即够。对10微克鎵0.03% 試劑溶液只需1毫升，絡合物显色后，可稳定24小时以上，溫度对显色的影响是，在15°C以下时，絡合物的光密度随溫度升高而增大，在15°C以上，光密度恒定。

在pH 6.7时，絡合物的最大吸收波峰在550 m μ 处，鎵的浓度在0.04—0.4微克/毫升范围内服从比尔定律，克分子消光系数为76,000。并进行了絡合物組成比的測定。

在pH 6.7时，As⁺⁺⁺K⁺Na⁺La⁺Mg⁺⁺Ca⁺⁺Mn⁺⁺Tl⁺⁺⁺F⁻Cl⁻Br⁻SO₄²⁻沒有干扰，Fe⁺⁺Cu⁺⁺Hg⁺⁺10倍于鎵时沒有干扰，Al⁺⁺⁺In⁺⁺⁺Sb⁺⁺⁺Sn^{IV}Zr^{IV}Ti^{IV}Ge^{IV}必需进行分离。

本文曾应用上述方法与溶剂萃取分离相結合进行了鋁合金中鎵的測定，获得了滿意的結果。

参 考 文 献

- [1] H. S. Cluley, Analyst, 76, 523 (1951).
- [2] B. A. Назаренко, и Н. В. Пебедева, Ж.А.Х., 10, 289 (1955).
- [3] C. L. Luke, Anal. Chem., 28, 1276 (1956).

14. 钕与其余稀土元素的微量連續螯合滴定

洪水皆 梁树权*

(中国科学院化学研究所)

摘 要

鈥以及其余稀土元素的螯合滴定已有評述^[1]。微量鈥的螯合滴定尚未見記錄。我們比較各种已提出的滴定鈥的金属指示剂，如鉻黑T、鉻藍黑R、茜素-次甲基蓝、紫脲酸銨、甲基百里酚藍和二甲酚橙之后，认为后者最适于微量鈥的滴定之用，終点敏锐。亦有人推荐用紫脲酸銨，认为它对鈥的选择性最好^[2]，惜不适用于微量滴定。Körbl等^[3]用二甲酚橙滴定鈥和銅，找出適宜pH值分别为3—5和5，但与二甲酚橙作用的上限分别为1.3（原文系0.05N硝酸）和4。Kinnunen等^[4]的相应数值分别是pH 3—4 和 4.5—6。从这些数据估計連續滴定鈥和其余稀土元素很有可能。本文报告借二甲酚橙指示剂于瓷坩埚中以EDTA滴定微量鈥（1—400微克），其相对誤差在+0.8%至-2.1%之范围内。此指示剂亦适用于連續滴定微量鈥和鈇及毫克量鑭系元素（0.1—20毫克）。即先于pH 1.8—2.2时滴定鈥，继以六次甲基四胺降低pH至5.0—5.5后，再以EDTA滴定至終点。鈥組稀土含量达25毫克时尚可进行微量鈥的滴定。大量的鈥組稀土和鈇的干扰可借适量磺基水楊酸消除之。适于滴定的范围为Sc₂O₃:La₂O₃（輕稀土氧化物）之重量比从1:5至1:1000时，其滴定誤差分別在±1%（氧化鈥）和0—1%（輕稀土氧化物）之内。銅和鐵的干扰可分别借硫脲和抗坏血酸或盐酸羟氨

* 李乙雨和楊桂馨二位同志參加實驗工作，作者謹致謝忱。

消除。二价锡的含量高达500微克尚不干扰，而四价锡和钍干扰。有钨（达50微克）铌和大量三价铈组稀土存在时滴定微量钪时，可借适量磺基水杨酸隐蔽之。四价铈的干扰可借抗坏血酸还原，其余离子的允许量为Hg^(I)500; Hg^(II)5000; Pt100; Cr100; Mo1000; 和W 200微克，大量氯化物、硝酸盐、硫酸盐、硼酸盐和抗坏血酸不干扰。而醋酸根含量大于0.36克产生严重干扰。

参 考 文 献

- [1] H. Flaschka, A. J. Barnard, Jr., and W. C. Broad, Chemist-Analyst, 47, 78 (1958).
- [2] Б. С. Цыбина и О. В. Конькова, Зав. Лаб., 25, 1430 (1959); C. A., 54, 8460 (1960).
- [3] J. Körbl and R. Přibil, Chemist-Analyst, 45, 102 (1956); J. Körbl, R. Přibil and A. Emr., Chem. Listy, 50, 1440 (1956).
- [4] J. Kinnunen and B. Wennerstrand, Chemist-Analyst, 46, 92 (1957).

15. 黑矿物化学组成研究

郭朴初 丁同昌

(冶金部北京地质研究所、冶金部矿冶研究所)

本文所涉及的工作包括以下三个部份：

(一) 黑矿物化学组成探测。

黑矿物属高温矿床Cu-Fe-S系矿物，其某些物理性质与墨铜矿颇为相似，有文记载，墨铜矿的化学组成为 $\text{Cu}_2\text{Fe}_4\text{S}_7$ 或 $\text{Cu}_3\text{Fe}_4\text{S}_7$ ，但是，到目前为止人们对黑矿物化学组成还研究得不够。本文通过化学分析及有关化学计算着重对黑矿物的化学组成进行了研究，初步结果表明：黑矿物为墨铜矿(Vallerite)-铁氢氧镁石-磁黄铁矿固溶体。按吉普斯规则计算此三矿物之间的相对百分含量为：墨铜矿占53%左右、铁氢氧镁石占39%左右、磁黄铁矿占8%左右。

(二) 黑矿物某些化学性质的考察。

黑矿物虽属Cu-Fe-S系矿物，但选矿实践表明：黑矿物之浮游性较差，只有在浮选过程中加入适量的酸方能提高黑矿物的回收率，否则，则有相当数的黑矿物进入浮选尾矿，造成金属流失，目前，现厂已经开始利用含黑矿物的矿石，为了提高黑矿物的回收率，更有效地利用国家资源，查明黑矿物的化学性质显然是急待解决的问题。

酸对黑矿物的作用尤为显著，实验表明：用酸处理黑矿物时，其中所含之铁镁则迅速转入酸浸取液中，而铜则要缓慢得多。由于铜与铁镁在酸浸取液中的溶解速度相差很大，因此，不难看出：黑矿物经酸处理后，其化学组成及化学性质均有相应的改变，这一改变势必影响浮选效果。此外，我们尚试图通过选择溶解的方法将黑矿物中所含的墨铜矿，铁氢氧镁石和磁黄铁矿三者单独分离出来，但是这一实验没有得到预期效果。同样，用物理方法也不能使此三矿物达到单体分离，因此，黑矿物应为三个矿物的固溶体(或紧密结合体)。

(三) 含有黑矿物的铜矿物相分析方法。

由于黑矿物的化学性质与次生硫化铜矿物(如：辉铜矿、斑铜矿等)不同，因此，必须制定一个新的物相分析方法来满足日常工作的需要，为此，曾用过氧化氢、硫酸正铁、稀硝酸等进行了试验。结果表明：黑矿物与10% $\text{Fe}_2(\text{SO}_4)_3$ 溶液在室温条件下混合45分钟，则有

98%以上的銅轉入浸取液中，在同样的条件下黃銅矿只溶解2%左右，因此，可以采用10% $\text{Fe}_2(\text{SO}_4)_3$ 溶液作为浸取黑矿物的选择溶剂，在浸取液中測定銅是为黑矿物中的銅含量，在不溶残渣中測定銅是为黃銅矿中的銅含量。

仪 器 分 析

16. 稀有气体气相色譜法全分析

沈呂寧 沈引蟬 胡承林等

(上海化学工业研究院)

本报告研究了以气相色譜法对稀有气体 A, He, Ne, Kr, Xe 及其杂质 O_2 , N_2 , H_2 微量水份、微量碳氢化合物(CH_4 , CO , CO_2)等的全分析方法。其中 A, He, Ne, Kr, Xe 及其杂质 O_2 , N_2 , H_2 等利用气固色譜法分析，色譜柱全部采用自制 5 Å 分子篩为吸附剂以 H_2 或 N_2 为載气用热导检定器測定試驗选择了适当的操作条件，可以将 O_2-N_2 , A- O_2-N_2 , He+Ne- O_2-N_2 , He-Ne, H_2-He , $\text{O}_2-\text{N}_2-\text{Kr}-\text{CH}_4-\text{Xe}$ 等各混合組分全分离，工作中并試驗比較了其它各种吸附剂如硅胶，活性炭，氧化鋁，硅鋁胶等对稀有气体各組分的分离，証明选用 5 Å 分子篩为吸附剂的色譜柱較为优越，其次具有操作条件简单，色譜柱短并对各混合組分皆可完全分离的优点。

本文研究了采用校正常数的定量分析方法，研究了定量校正常数的性质，并測定了各有关組分的校正常数，証明校正常数可以在固定的載气下不受检定器灵敏度，記錄設備，載气流速，操作溫度等各操作条件的影响是一个通用常数，在分析工作中可以解决缺乏高純标准样品的困难，直接根据分析結果和校正常数計算，即得出定量分析数据。微量水份分析采用浓缩色譜法，利用控制在 -78°C 溫度下涂有聚乙二醇(400)固定液的浓缩柱中，将样品中微量水份浓缩，浓缩后再加热浓缩柱，使水分揮发，經過与浓缩柱相同性质的色譜柱，以热导检定器測定分析范围含水份大于 10 ppm，相对誤差 10% 以下。微量碳氢化合物分析采用轉化色譜法，以活性炭为色譜柱，将样品中碳氢化合物各組分分离，用赤热的鉑触媒在氧的存在下，分別轉化为 CO_2 ，再用电导检定器測定，分析范围各單項組分在 5 ppm 以上，誤差 20% 以下，本文同时又进行以鉑触媒直接轉化样品中碳氢化合物为 CO_2 ，再用电导法測定碳氢化合物总量的分析方法。本分析方法可以适用于各类型不同純度的稀有气体及常用气体 O_2 , N_2 , H_2 等的全分析，目前限于热导检定器的灵敏度，一般杂质（除水份和碳氢化合物外）的最低检出量約在 100 ppm 左右，在检定器进一步改进后当可进行更高純度的稀有气体分析。試驗結果証明，采用气相色譜法分析，設備及操作条件简单，易于掌握，分析时间快速，准确度高，所用吸附剂及热导检定器皆完全可以自制。

17. 矿石中铂钯的化学光谱测定法

陈寿根 駱劍武

(冶金部北京地质研究所)

余绍芬

(冶金部矿冶研究院)

本方法应用汞作为共沉淀剂将铂钯从矿石中分离出来，而后用光谱法同时测定此两种元素在浓缩物中的含量，取得了较为满意的结果。测定范围铂为0.05—5克/吨；钯为0.02—1.5克/吨。

化学处理用王水分解矿样，滤去不溶物，所得溶液把硝酸根赶尽，之后在盐酸溶液中加入二氯化汞，以氯化亚锡作为还原剂将汞和铂钯一起沉淀分离，过滤灼烧后的沉淀加入配制标准用石英粉，使总重量恒为0.05克。

光谱测定采用直流电弧作为激发光源，电流15安培，在赫尔格(或KG-55)大型仪器上进行摄谱。试样蒸发采用带颈电极，全能量法。标准试料是以较纯的天然石英粉作基体，加入一定量的氯铂酸铵和氯亚钯酸铵配制而成。

根据铂钯两元素挥发性的差异，本方法提出了用铌和钒作为同时测定铂钯的内标元素，得到了满意的结果。缓冲剂应用纯炭粉，其中含 Nb_2O_5 0.15%， V_2O_5 0.6%，与试料(同样与标准)之重量比为2:1。

工作曲线以 $\log \frac{J_{\text{Pt}}}{J_{\text{Nb}}}$ ， $\log \frac{J_{\text{Pd}}}{J_{\text{V}}}$ 和 $\log C$ 为坐标绘制。分析线对采用 Pt I 2659.454—Nb II 2590.944 Å，Pd I 3242.703—V VI 3376.057 Å。

分析再现性根据粗略的统计或然误差一般不超过±9%。用不同矿区的空白矿样所作的回收率试验表明，铂的回收率一般在95%左右，钯为105%，稍有偏高倾向。

矿样与化学法及试金化学法的对照测定结果列于下表。

矿样编号	测定结果 (克/吨)				
	铂			钯	
	化学法	化学光谱法	试金化学法	化学光谱法	试金化学法
氧化矿 4A	0.47	0.46	0.48	0.65	0.65
氧化矿 4C	0.05	0.06	0.05	0.07	0.07
硫化矿 420	0.64	0.69	0.57	0.34	0.40
硫化矿 D 2083	0.21	0.24	0.20	0.07	0.10
砂矿 P ₁	1.54	1.62	1.48	0.02以下	0.05以下
铜镍矿 A-1		0.36	0.30	0.26	0.22
铜镍矿 B-1		0.26	0.23	0.10	0.10
铜镍矿 III-1		0.25	0.24	0.08	0.06

18. 稀有气体光譜分析

胡哲生 林新森

(上海化工研究院)

(一) 引言，我国稀有气体生产，面临着产品的分析問題，亟待解决，本专题研究的目的，就是拟定稀有气体中 0.01~1% 氮的光譜定量分析方法。

(二) 實驗裝置及材料，应用 110~H 摄譜仪和 H-451 型測微光度計，НИКФИ-II型感光板，石英材料放电管，国产特純稀有气体，(但氯用英國貨)和氮气，經光譜定性检查，純度符合要求，真空系統系用玻璃材料制成，由轉動式机械泵和油扩散泵联合抽空，真空度不低于 1×10^{-5} 毫米汞高，为了捕集油蒸气或水銀蒸气，在系統中装有冷阱二只，分別按放在放电管前和油扩散泵前，實驗所用的发生器，系仿苏 ВГ~2 型，其功率不低于 200 瓦，頻率为 4—8 兆周，稳定性良好。

(三) 研究結果及結論，通过實驗，确立下列操作条件。

在測定 0.01—0.1% 氮时，(1)压强不低于 10 毫米汞高，(2)感光時間，4 分(Ar, Kr) 3 分(He, Ne)，(3)板极电流，125 毫安，(4)狭縫宽度 36 μ ，(5)分析綫对， $N_2 3998 \text{ \AA}/Ar 4044 \text{ \AA}$ ，(Ar) $N_2 3998 \text{ \AA}$ 的絕對强度(He, Ne) CN 4216 \AA 的絕對强度(Kr)。

在測定 0.1—1% 氮时，除压强改为 5 毫米汞高，感光時間改为 2 分(Ar) 3 分(He) 1 分(Ne)，4 分(Kr)外，其余条件照旧，依据上述条件所制得的工作曲綫，基本上呈一直綫，仅在 0.01% 一点，略有弯曲，均方誤差不大于 $\pm 5\%$ 。

在氮-氮，氖-氮混合气体的光譜中，氮綫 3888 \AA 极强，而氮的光譜极弱，即使应用阶梯減光板，仍然不能改变黑度值相差悬殊的現象，而长波部份的譜綫，又受設備材料限制，无法应用，其次在氖-氮混合气体的光譜中，在測定的浓度范围内，氮的譜綫始終沒有出現，但 CN 4216 \AA 黑度却随氮浓度的增加而增强，因此，对氮，氖，氪的分析，分別应用 $N_2 3998 \text{ \AA}$ ，和 CN 4216 \AA 的絕對强度。

对第三元素影响研究指出，(1)存在于試样中 0.1% 的氧，对氩，和氖气中 0.01—1% 氮的測定，沒有影响，但高于 0.1%，对 0.1% 以下氮的測定，会产生偏低的結果。(2)氧的含量高于 0.05%，对氖气中 0.05% 以下氮的測定，却得到偏高的結果。(3)氧的含量高于 0.1%，对氖中 0.1% 以下氮的測定，也引起偏低的結果，但对 0.1% 以上氮的測定，也沒有影响。

在工艺生产过程中，氧气远比氮气容易分离，因此要是成品中氮浓度較低的話，所存在的氧气的量，一般不超过 0.1%，对方法沒有影响，所以不必分离，而可直接应用。

19. 以硝酸錳为探測剂中子吸收法測定硼-10

李芥春

(中国科学院化学研究所)

探測剂(器)的中子吸收法，前人曾用氧化鎘、金属銅、金属鎔、硫酸錳^[1]溶液等。我們的样品氟化硼水解后，用鈣离子沉淀去氟，为了避免剩余鈣离子与硫酸根生成沉淀，影响放射性測量，我們采用溶解度更大的硝酸錳为探測剂，間接測定硼-10。自然界中只有錳-55，

經(n, γ)反应成为半寿期 2.58 小时 β 能量 2.81 百万电子伏的錳-56，活化截面为 13.4 巴。此时如有吸收中子的硼-10 存在，它的(n, α)反应截面积为 4010 巴，势必减弱中子流的强度，减少錳的活化机会，即錳-56 的放射性强度降低，而硼-11 几乎不吸收中子。預先对于一定量不同浓度的硼-10 溶液，加一定量的硝酸錳溶液，做出工作曲綫，从錳-56 的放射性的减弱程度，即可測定未知硼-10 含量的样品，得到了滿意的結果。

首先作了錳的合适浓度范围、硝酸錳与硼-10 溶液的体积比以及中子照射时间。然后找出合用的中子緩速层——有机玻璃片的厚度。在本实验装置中最灵敏的位置，做出工作曲綫，算出实验公式。提議用工作曲綫的直綫部分的半吸收浓度 ($C_{\frac{1}{2}}$) 表示中子吸收法的灵敏度，本实验的 $C_{\frac{1}{2}}$ 为 1.07 毫克硼-10/毫升。

从样品与中子源的几何配置的实验結果，找出加快分析速度約一倍的方法。

对同样条件下的結果，做了统计检定，結果表明誤差的来源主要为放射性測量的统计涨落，仪器的工作状态是滿意的。

感謝对本工作提了很多宝贵意見的张青莲、梁树权教授、黃祖洽副教授、庄亚輝同志。

参 考 文 献

[1] M. Mohnke. Kernenergie, 5, 436(1962).

20. 方波极譜研究Ⅳ. 受化学反应 (超前反应)

控制的方波极譜电流理論

張祖訓 高鴻

(南京大学化学系)

本文从理論上探討受化学反应控制的方波极譜电流的性质。对反应体系：



$$K = \frac{k_b}{k_f} \quad (2)$$

可以写出下面两个偏微分方程以及初始和边界条件：

$$\frac{\partial C_0(x, t)}{\partial t} = D \frac{\partial^2 C_0(x, t)}{\partial x^2} + k_f [C_M(x, t) - KC_0(x, t)] \quad (3)$$

$$\frac{\partial C_M(x, t)}{\partial t} = D \frac{\partial^2 C_M(x, t)}{\partial x^2} - k_f [C_M(x, t) - KC_0(x, t)] \quad (4)$$

$$C_0(x, 0) = C_0^*, \quad C_M(x, 0) = C_M^*, \quad C_0^* + C_M^* = a \quad (5)$$

$$C(0, t) = \frac{1}{2} (C_1 + C_2) + \frac{1}{2} (C_1 - C_2) S(\tau, t) \quad (6)$$

$$S(\tau, t) \text{ 表示方形波 } S(\tau, t) = \begin{cases} +1 & (0 < t < \tau) \\ -1 & (\tau < t < 2\tau) \end{cases} \quad (7)$$

$$S[\tau, (t+2\tau)] = S(\tau, t)$$